



と表わされることほどよく知られている。 $\Delta u_c$  は平均主応力による間隙水圧、 $\Delta u_d$  は偏差応力による間隙水圧であり、 $\Delta u_d$  を応力比  $\sigma/\sigma'$  に対応させたものが図-3である。図-3では、異方性による相違を比較しやすいように、等方圧密のデータを  $K_0$  圧密の原点まで平行移動させている。 $K_0$  圧密・等方圧密における  $\Delta u_d$  の挙動の相違は、(3) のダイレイタンシー挙動と密接な関連がある。

(3). ダイレイタンシ-拳動； 鋼板粘土の体積変化は、周知のように圧密による  $\Delta V_d$  とダイレイタンシ-による  $\Delta V_s$  の重ね合わせによって成り立ち

$$\Delta v = \Delta v_c + \Delta v_d \quad \dots \dots \dots \quad (3)$$

となり、非排水時には  $\Delta v = 0$  より

$$\Delta V_d = -\Delta V_c = - \frac{C_c}{1 + e_o} \cdot \frac{dp'}{p'} \quad \dots \dots \quad (4)$$

と表わせる。各試験の荷重段階毎で  $\Delta u_d$  を計算し応力比によって整理したものが図-4であり、等方圧密のデータは  $\Delta u_d$  と同様に原点の移動を行っている。 $\Delta u_d$  の挙動は、ある応力比以上では K。圧密・等方圧密の両試験結果とも応力比に対して線形的な挙動を示す。

(4). 応力・ヒズミ関係；  $K_0$ .圧密・等方圧密粘土の、非排水セン断における応力比・ヒズミ関係を図-1に示す。これより、応力・ヒズミ関係において  $K_0$ .圧密の方が等方圧密に比べ曲線の立ち上がりが急なことが良くわかる。このことは、図-1のストレッスパスを参照すると良く理解できる。これから、繰返し荷重をうける粘土地盤の変形解析の際に、等方圧密粘土の結果をそのまま利用すると、若干の

誤差を生じることになり注意を要する。また、図-1からわかるように、せん断強度は若干の相違があるものの、せん断前の異方性がストレスパスに及ぼす影響は顕著であり、これが図-5の応力・ひずみ曲線の相違にも密接に関係しているようと思われる。

4.あとがき 今回は、正規圧密粘土に対して K<sub>0</sub>圧密から応力制御の非排水線返し三軸試験結果より、次のような知見が得られた。 i) 非排水時の動的強度には、周波数の影響は見られない。しかし、異方性は強度に若干の影響を及ぼすようである。 ii) 正規化された間隙水圧と軸ヒズミ関係には、双曲線表示が可能であるが、異方性の影響を受ける。 iii) 偏差応力による間隙水圧とダイレイタンシー相当量  $\Delta \ln \sigma$  は、ある応力比以上では応力比  $\Delta \ln \sigma$  に対して線形的な関係が見られる。 iv) 応力・ヒズミ曲線にも異方性の影響が強く現われ、統一的に表現するための力学的モデルの選択が必要と思われる。

引用文献

- 引用文献 1) 安原・平尾・岩田 (1978) : 標準シルト土の飽和粘土の変形特性 (続報), 52年度土木学会西部支部発表会論文集, pp.83~84. 2) 安原・山内・平尾・上 (1978) : 饱和粘土の静的および動的変形特性, 第13回工質工学発表会概要集, pp.309~312. 3) 安原・平尾 (1978) : 饱和粘土の動的強度・変形特性, 第15回自然災害科学総合シンポジウム, pp.121~124. 4) Yasuhara & Hiraoka (1978) : Strength and Deformation of a Saturated Soft Clay Subjected to Cyclic Loadings, Proc. of the Fifth Japan Earthquake Engineering Symp., pp.729~736.

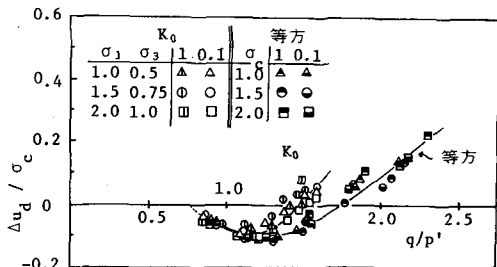
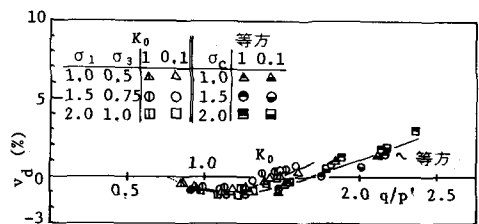


図-3 偏差応力による間ゲキ水圧と応力比の関係



#### 図-4 ダイレイタンシーと応力比の関係

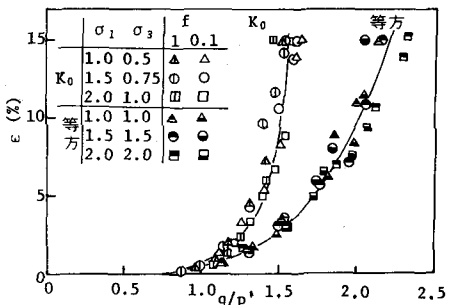


図-5 応力・ヒズミ関係